

نسبة مساهمة الإطارات العزمية من القص القاعدي للجمل الثنائية جدران قص - إطارات بناءً على التصميم الأمثل للأبنية الخرسانية المسلحة مقاومة للزلازل

أحمد محمود كوكش^{1*} منير الأطرش² أمجد الحلواني³

1*. مرشح لدكتوراه طالب دراسات عليا، مهندس، قسم الهندسة الإنشائية الزلزالية، المعهد العالي للبحوث والدراسات الزلزالية، جامعة دمشق.
ahmad.koukash@damascusuniversity.edu.sy

2. أستاذ، دكتور في قسم الهندسة الإنشائية، كلية الهندسة المدنية، جامعة دمشق.
m.alattrash@damascusuniversity.edu.sy

3. مدرس، دكتور في قسم الهندسة الإنشائية الزلزالية، المعهد العالي للبحوث والدراسات الزلزالية، جامعة دمشق.
a.helwani@damascusuniversity.edu.sy

الملخص:

تعتبر الجمل الثنائية جدران قص - إطارات ذات كفاءة عالية في مقاومة الزلازل للأبنية العالية من ناحية المطابقة تحت تأثير الزلازل التصميمية. نصت الكودات على أن يكون هناك نسبة مساهمة في القص القاعدي التصميمي للجزء الإطاري من هذه الجملة الثانية لا تقل عن 25% بدون تحديد نسبة معينة. في هذا البحث تم استخدام خوارزمية أمثلة تعتمد على تابع كلفة الهيكل الإنشائي كهدف لعملية التصميم الأمثل بالوصول إلى الكلفة الأقل مع تحقيق جميع الشروط التصميمية. بعده يمكن العودة إلى استخلاص نسبة الإطارات المساهمة في مقاومة القص القاعدي للمساقط المختلفة التي تمت أمثلتها وهو الهدف المنشود. أي عند تحقيق الإقتصادية المثلثي في التصميم ماذا سيعكس ذلك على نسبة المساهمة في مقاوم القص القاعدي بين الإطارات وجدران القص في الجملة الثانية. من أجل تحقيق ذلك استخدم في عملية التصميم الأمثل خوارزمية Nelder-Mead. وتم استخدام برنامج Abaqus في التحليل الديناميكي اللاخطي للنموذج التي تعرضت إلى تحريض قاعدي بتسارعات زلزالية تصميمية مناسبة. تم توليد برامترات التصميم للنموذج التي هي أبعاد المقاطع في كل دورة من دورات الأمثلة المتتالية حيث تشمل كل دورة التحليل وتقييم النتائج ومن ثم اتخاذ القرار لمتابعة توليد البرامترات وإعادة التحليل وتقييم النتائج أو التوقف عند الوصول إلى التصميم ذو الكلفة الأقل والذي يحقق كافة الإشتراطات الموضوعة للتصميم. بعد التعامل وفق هذه الطريقة مع ثلاثة نماذج مختلفة أحدها ذو نواة مركزية فقط وأخرين ذوي تناظر كامل بالنسبة للمحورين x و y بينت النتائج أنه لا يوجد نسبة محددة يمكنها التعبير مبدئياً عن الجملة الثنائية الأوفر كلفة. أي أن هذه النسبة قد تختلف بشكل جوهري مع اختلاف ترتيب الإطارات والجدران في المسقط الأفقي للطابق ضمن النموذج.

الكلمات المفتاحية: الجمل الثنائية - نسبة مساهمة الإطارات - القص القاعدي - التحليل الديناميكي اللاخطي - تحريض زلزالي - أمثلة التصميم الإنشائي - Nelder- Meadalgorithm

تاريخ الإيداع: 2023/8/3

تاريخ القبول: 2023/10/16



حقوق النشر: جامعة دمشق -
سوريا، يحتفظ المؤلفون بحقوق
النشر بموجب CC BY-NC-SA

Participation Ratio of Frames in Design Base Shear of Dual Shear Wall-Frames Systems According to Optimal Design of the Seismic Resistant R\c{C} Buildings

Ahmad MAHMOUD Koukash^{*1} Muneer Alattrash² Amjad Al Helwani³

*¹. PhD candidate, Seismic Structural Engineering Department, Higher Institute of Earthquake Studies and Research, Damascus University.

ahmad.koukah@damascusuniversity.edu.sy

². Professor Structural Engineering Department, Faculty of Civil Engineering, Damascus University. m.alattrash@damascusuniversity.edu.sy

³. Associate Professor, Dr, Seismic Structural Engineering Department, Higher Institute of Earthquake Studies and Research, Damascus University. a.helwani@damascusuniversity.edu.sy

Abstract:

Dual shear walls-frames system is considered one of the most efficient systems to resist earthquake in high-rise buildings. Design codes dictates that a minimum of 25% of design base shear forces should be resisted by frames part only without giving a specific ratio. In this research an optimization algorithm that applies cost as an objective function, has been used to optimally design the structure of high rise buildings. That is to reach the minimum cost required with all design constraints fulfilled. After that the participation ratio of the frame part can be calculated. For this purpose an algorithm named after Nelder-Mead that applies simplex method was used in conjunction with Abaqus software to search for the least cost design. Abaqus's models were analyzed during optimization process for hundred of times through time-history nonlinear dynamic analysis under base excitation that applies design earthquake acceleration records. The parametric model built on Abaqus was interconnected with the algorithm to be analyzed several hundred of times reaching the optimum design of this model. After processing three models in the same manner, one with central core and excitation about the weak direction of the model. And two with full symmetry about x and y axis. The results concluded that there is no specific ratio or range that result in cost effective dual system. But rather the participation ratio might change significantly with a minimum replacement of the shear walls in plan.

Key words: Dual Systems – Frames shear resistance ratio – base shear – Dynamic nonlinear analysis – Earthquake Excitation – Design Optimization –Optimizing Algorithm

Received: 3/8/2023
Accepted: 16/10/2023



Copyright: Damascus University- Syria, The authors retain the copyright under a

CC BY- NC-SA

للبنيّة لمعرفة نسب توزع قوى القص القاعدي بين العناصر المختلفة.

من الدراسات السابقة نجد أن ما يميز الجمل الثانية هو نسبة المساهمة للإطارات في مقاومة القوى القاسية الأفقية (الزلزالية) والتي تحدّدها الكودات بنسبة لا تقل عن 25% (ASCE 7-22 (2022) واعطاء حد أدنى لها يترك المجال مفتوحاً أمام البحث عن النسبة التي إن طبقت فمن الممكن أن يكون البناء أكثر اقتصادية من ناحية كلفة العناصر التي تقاوم القوى الزلزالية (إطارات + جدران قص) والمواقف لتوزع معين لهذه العناصر في المسقط الأفقي. من أجل الوصول إلى هذه الغاية اتخذت في هذه الدراسة خوارزمية أمثلة للبحث عن هذه النسبة عن طريق تصميم مقاطع العناصر بشكل أمثل من خلال هذه الخوارزمية مع اتباع أسلوب التحليل الديناميكي اللاخطي حيث يعتبر التصميم الديناميكي اللاخطي للبنيّة العالية مقاومة للزلزال من أدق أنواع التحليل في التصميم الزلزالي إلا أن طبيعة الحل وبالتالي الحصول على النتائج يتطلب زمن تحليل طويلاً نسبياً لإنجاز المطلوب T.K. Datta (2010)، Malhotra, P. K. (2021) ، وعادة ما تكون المسألة التصميمية هي مسألة تكرار التحليل لعدة مرات من أجل جعل التصميم إقتصادياً بمقاطع تحقق المطلوب من مقاومة مع تقليل فائض المقاومة منها لتحقيق إقتصادية التصميم. إن الحل الإقتصادي الأمثل في تصميم المبني العالية مقاومة للزلزال يمكن أن يتحقق عن طريق توظيف خوارزميات رياضية تبحث عن أفضل قيمة للمتحولات التصميمية تحقق الإقتصادية من جهة وبعد دورات تحليل أقل ما يمكن من جهة أخرى. لذلك اقترح Saka (1992) تصميم أمثل لمنشآت متعددة الطوابق ذات جدران قص ، استخدمت خوارزمية تعتمد الإنقلالات ، القوى المحورية القصوى ، وعزوم الإنعطاف القصوى ، ومحددات الأبعاد المتبعة لمقاطع في

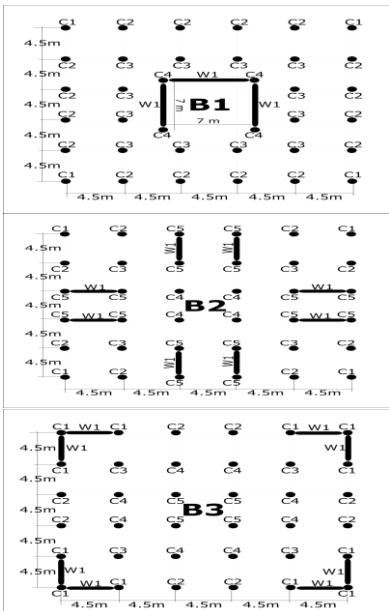
المقدمة:

تتميز البنيّة مقاومة للزلزال بقدرتها على استيعاب الطاقة الزلزالية الناتجة فيها عن زلازل تصميمية كبيرة من دون إنهيار أو حتى دون أضرار بالغة قد تصيب الهيكل الإنساني. وتتميز الجمل الثانية جدران قص - إطارات بقدرتها على التخفيف من التشوهات الجانبية إلى حد أدنى بسبب التفاعل المشترك بين الجدران والإطارات تحت تأثير الحمولات الأفقية. ذلك أنها تتميز بتشوه متبادر بين الجزء الإطاري (تشوه قصي) والجداري (تشوه ظفرى) على كامل ارتفاع المبني. فالجدران تتميز بالسلوك التشوهي العزمي الذي يمثله تشوه ظفر موثوق إلى الأرض حيث تكون التشوهات قليلة جداً عند الوثافة (الأرض) ما تثبت إلى أن تزداد بشكل مضطرب مع الارتفاع بسبب شكل التشوه العزمي للظفر. من جهة أخرى فإن الإطارات تمتلك مرنة عالية تجعل من تشوهها عند مكان الوثافة كبير نسبياً ما يليث أن يتضائل هذا التشوه مع الارتفاع بحيث يمكن القول بأن المبني العالية الإطارية تتميز بضآل التشوه الجانبي فيها عند الطوابق العليا . Al Agha, W. et.al (2021)

قام الباحث Mehdipanah, A., et.al (2022) بتقييم السلوك المطابع وميكانيكة الإنهاي في العناصر الإطارية للمبني ذات الجمل الثانية وأعطى بعض المقترنات بخصوص تعديل عوامل الاستجابة واقتراح الطرق الأفضل للتحليل. أيضاً قام الباحث Katrangi, M. (2022) بدراسة تأثير التفاعل المشترك بين التربية والمنشاً على تغير مواصفات الديناميكية للمنشآت ذات الجمل الثانية. بدوره قام Bagani, M. G (2022) بإجراء مقارنة هندسية - اقتصادية بين المبني المنخفضة والمبني العالية ذات الجمل الثانية بعد التعرض لزلزال تخريبية. قام أيضاً Sigmund, V., et.al (2008) ومن بعد Wiyono, D. R., et.al. (2020) بدراسة عدة نماذج

كوكش، الأطروش والحلواني

تم اعتماد ثلاثة مساقط أفقية لأبنية ذات ارتفاع 20 طابقاً بارتفاع طابقي 3.5m ثابت لجميع الطوابق لكل منها حيث تختلف هذه المساقط فيما بينها بتوزع الجدران ضمن المقطع إضافة إلى مواصفات مقاطع الأعمدة والجدران بالطبع. المقطع الأول B1 اعتمد فيه أسلوب النواة المركزية في البناء والتي غالباً ما تكون مرغوبة في الأبنية العالية التي تتركز فيها الخدمات من مصاعد وأدراج ومناور في نواة البناء بعيداً عن واجهاته الخارجية. ثم المقطع B2 والذي أضيفت إليه جدران القص بحيث تمتد بشكل شعاعي مع مركز الطابق ومتعمد مع الواجهات. أما المقطع B3 فقد توضعت الجدران فيه بحيث تعطي مقاومة مثل للفتل الطابقي إن حدث حيث ذراع القوة المقاومة للفتل لكل الجدار تكون أكبر ما يمكن قياساً مع مركز صلابة الطابق. سمكية البلاطات كافة هي $t_{slab} = 200\text{mm}$ وأخذت الجوائز للتصميم التكامل مع الأعمدة كإطارات عزمية تحقق فرضية عمود قوي - جائز ضعيف بتحقيق العلاقة التالية $\frac{M_{nc}}{\Sigma M_{nb}} > 1.2$ أي أن العزم المقاوم لمقطع العمود حول محوريه أكبر من مجموع العزوم المقاومة للجوائز التي تتلاقى مع هذا العمود حول محوريه كل محور على حدا. الشكل التالي يوضح المساقط الثلاثة التي تم اختيارها:

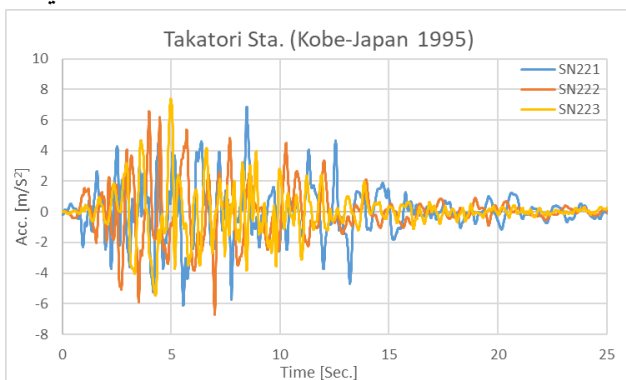


الشكل (1) المساقط للجمل الثانية المصممة بشكل أمثل

نسبة مساهمة الإطارات العزمية من القص القاعدي.....

هذا التصميم. أما Fadaee and Grierson (1998) فقد أنشأ تصميم أمثل لمبني ثلاثي بعد من البيتون المسلح فيه جدران قص. أيضاً قام Camp et.al (2003) بتطوير إجراء يستخدم الخوارزمية الجينية Genetic Algorithm في تصميم إطارات بيiton مسلح و الهدف كان تصغير كلف البناء والممواد المستخدمة في المنشآء بعد إخضاعه إلى كافة المتطلبات الموصوفة من قبل Lee and Ahn (2003). بينما قام ACI Code (2008) بتوظيف قواعد بيانات للجوائز والأعمدة في تصميم إطارات بيتونية عن طريق الخوارزمية الجينية. قام Kwak and Kim (2008) بتحقيق تصميم أمثل لإطارات سطحية من البيتون المسلح استناداً إلى قاعدة بيانات معدة مسبقاً للمقاطع. من جهة أخرى قام Zou and Chan (2005) بإجراء تقنية إعادة تقييم لأحجام المقاطع بشكل أمثل لبناء بيتون مسلح تحت تأثير تحمل ديناميكي. أما Kaveh and Sabzi (2011) فقد قاموا بإجراء دراسة مقارنة بين خوارزميتي تجريب - تصحيح heuristic (meta-heuristic) big heuristic particle والثانية تسمى bang-big crunch swarm ant colony optimization مسلحة بناء على شروط الكود 318-08 ACI. أيضاً قدم Kaveh and Zakian (2012) مسألة أمثلة للتصميم المبني على الأداء الزلالي للمنشآت التي تعتمد على جدران القص عن طريق خوارزمية تدعى Charged System Search Kaveh and Zakian (2014). أيضاً قام algorithm بتصميم منشآت ثنائية جدران قص - إطارات بشكل أمثل عن طريق نفس الخوارزمية السابقة meta-) CSS algorithm وظفت لاختيار الجوائز ، الأعمدة ، جدران القص من ضمن قاعدة بيانات أنشئت سلفاً ضمن شروط الكود ACI. ومن جانب آخر يمكن الإستفادة قدر الإمكان من جوانب النمذجة المبسطة ، التي تعكس الحالة الواقعية بشكل مبسط من أجل توفير الوقت البذول في تحليل جوانب معقدة لا تعني البحث مقابل بدائل اقتصادية في النمذجة تعطي نتائجاً لا تقل دقة عن النمذجة التفصيلية فيما لو تم اللجوء إليها.

النمذج المعتمدة وطريقة النمذجة والحساب:



الشكل (2) السجلات الزمنية للتسارعات الزلزالية المستخدمة في التصميم الديناميكي اللاخطي

طريقة الأمثلة المعتمدة وعناصرها:

من أهم عناصر عملية الأمثلة هو متحولات التصميم. وعندما يكون المطلوب هو اعتماد المقاطع المثلثي من ناحية التحمل (شروط تصميم) والكلفة (تابع هدف) ، يصبح المقطع المراد تصميمه هو نفسه متحول تصميمي. وبما أن المقطع الأفقي في كل مبني يحتوي على عدد من المقاطع المختلفة للأعمدة والجدران ، تم اتخاذ متحول وحيد لكل مقطع وهو طول المقطع أو عرضه (مقاطع الأعمدة مربعة). يمثل هذا البعد بمتحول أمثلة يأخذ اسم المقطع نفسه. فمثلاً مقطع العمود C11 هو العمود ذو متحول مقطع C1 مع ملاحظة أن المقطع لم يتم تصغيره مع الإرتفاع لوجوده في مستويات الطوابق 1 (الرقم المرافق الثاني المقطع). بالنسبة للجدران فإن سماكتها فقط هي التي تتغير كمتحول تصميم واعتماداً على المساقط المختارة تم اعتماد سماكة واحدة فقط للجدران في هذا المقطع وبالتالي فالمحول التصميمي الخاص بالجدار وحيد (W11 مثلاً).

يضاف إلى متحولات أبعاد المقاطع هذه متحول تصميم إضافي يتعلق بنسبة تناقص المقطع مع إرتفاع البناء. الشكل (3) يوضح المستويات التي تتناقص فيها مقاطع الأعمدة والجدران نحو الأعلى والرقم الثاني المرافق لاسم المقطع الذي يعبر عن هذه المستويات.

تم اللجوء إلى فرضية الحجاب الصد للبلاطات “Rigid Diaphragm” Kunnath, S. K et.al (1991) ويسقط منطقة الوصل بين الجوائز والأعمدة ل تعمل بشكل صد rigid column-beam joint بحسب ما تقتضيه قساوتها الأكبر من قساوة الأعمدة والجوائز معاً.

تمت نمذجة المبني عن طريق برنامج Abaqus بعناصر خطية Wire للعناصر ذات الطول الكبير بالنسبة لمقاطعها (أعمدة وجوائز) من نوع B31 (Timoshenko Beam). أيضاً تمت نمذجة الجدران والبلاطات بشكل صفائي بعناصر S4R وهي صفائح عامة الاستخدام. أيضاً استخدمت مادة бетон كمادة مرنة - لذة بمقاومة مميزة $f_c = 30 \text{ Mpa}$ وفولاذ التسليح $f_y=400 \text{ Mpa}$. أما عن كثافة شبكة العناصر المحدودة للأبنية Mesh فقد قسمت الجوائز والأعمدة إلى خمسة عناصر على الأقل لكل مقطع من مقاطعها ، كما تم تقسيم البلاطات والجدران إلى عناصر رباعية قدر الإمكان (مثلية أحياناً) طول ضلعها يقارب الـ 80 cm . رغم ما يميز التحليل الاستاتيكي اللاخطي للأبنية من سرعة الوصول إلى النتائج التي غالباً ما تكون عالية التطابق مع النتائج ، التي يمكن الحصول عليها بتحليل تاريخ زمني ديناميكي لخطي

(1978) “Nonlinear Time-History Analysis”

Freeman. إلا أن هذا التحليل قد لا يكون بالفائدة المرجوة في حال وجود عدم انتظام من جهة ، أو ارتفاعات كبيرة للأبنية يكون بنتيجتها دور بارز لأنماط الاهتزاز العلية في تجاوب المبني مع التحرير الزلزالي المطبق عليه لذلك تم اعتماد التحليل الديناميكي اللاخطي التاريخي الزمني لشمولية نتائجه ودقتها ، واختير التحرير الزلزالي من سجلات تسارعات زلزال Kobe الذي حدث في اليابان عام 1995 وتحديداً الهزات المسجلة في محطة Takatori وهي SN221 و SN222 و SN223.

كوكش، الأطروش والحلواني

نسبة مساهمة الإطارات العزمية من القص القاعدي.....

هو عدد المقاطع المختلفة للأعمدة والجدران ضمن المقطع + نسبة تناقص هذه المقاطع مع الإرتفاع كنسبة تم تثبيتها لكل المستويات. بذلك يصبح عدد المتحولات الكلي للمسقط B1 و B2 و B3 هو 6 و 7 و 7 على التوالي.

استخدمت لغة Python للبرمجة في كتابة برنامج Code يقوم بالمهام التالية: استدعاء ملف النموذج لمبني - تعديل البرامترات التصميمية الخاصة بالمقاطع العرضية لجميع الأعمدة والجدران ضمن الملف - تحقيق شروط التصميم للمقاطع بحسب ما سيرد في شروط التصميم قبل التحليل - Analysis (per-cons) - تحليل النموذج عن طريق برنامج Abaqus - استخراج النتائج وقرائتها - تحقيق شروط مخرجات التحليل من انتقالات وقوى مقطوعية وزعوم وغيره (pos-cons) - حساب تابع الهدف الذي هو كلفة العناصر المستخدمة في النموذج إضافة إلى حساب تابع الجزء في حال تم خرق أي من شروط التصميم أو شروط مخرجات التحليل - إعادة قيمة تابع الهدف والجزء إلى خوارزمية ConstrainNM - قيام الخوارزمية بتوليد قيم جديدة للبرامترات التصميمية والعودة إلى الخطوة الثانية من هذه الحلقة.

في عملية التصميم الأمثل هذه تم الاعتماد على خوارزمية Nelder, J. A., & Mead, R. Nelder-Mead (1965) من أجل تصغير تابع الهدف والذي هو كلفة العناصر الإنشائية من أعمدة وجوانز وجدار حيث تشمل هذه الكلفة مواد البناء من بيتون + فولاذ ومن كلفة الكوفراج المخصص لهذه العناصر عند الصب. صيغت توابع الكلفة كالتالي لكل عنصر من العناصر:

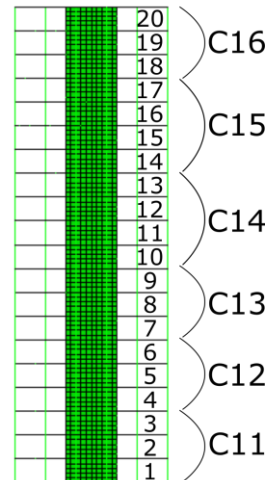
كلفة المتر الطولي للعمود مع الكوفراج:

$$ulc_{column} = \alpha_1 \cdot A_s \cdot \gamma_s \cdot UCS + W_c \cdot D_c \cdot UCC + 2(W_c + D_c) \cdot UFC_{Column}$$

كلفة المتر الطولي للجائز مع الكوفراج:

$$\begin{aligned} \llbracket ulc \rrbracket _beam = & \llbracket [2 \times \alpha] - 2 \cdot A_{(s End)} \rrbracket \\ & + (1 - 2\alpha_2) \cdot A_{(s Mid)} + \\ & \cdot \gamma_s \cdot UCS + W_B \cdot D_B \cdot UCC \\ & + (W_B + \llbracket 2 \cdot D \rrbracket - B) \\ & \cdot \llbracket UFC \rrbracket _beam \end{aligned}$$

كلفة المتر الطولي للجدار مع الكوفراج:



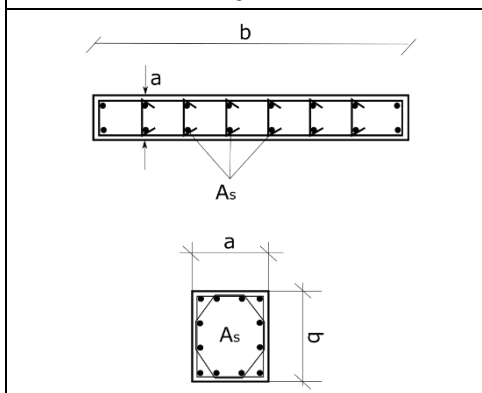
الشكل (3) يوضح المستويات التي تتناقص فيها مقاطع الأعمدة والجدران مع الإرتفاع في البناء نحو الأعلى

تم تثبيت نسبة التسلیح في مقاطع الأعمدة بالمقدار 0.02 .

الجدول (1) تسمية المقاطع والمحولات التصميمية
المقابلة لها

المحولات التصميمية	B1	B2	B3
C1	a,b	a,b	a,b
C2	a,b	a,b	a,b
C3	a,b	a,b	a,b
C4	a,b	a,b	a,b
C5	-	a,b	a,b
W1	a	a	a
Ratio	A _{UP} /A _{DN}	A _{UP} /A _{DN}	A _{UP} /A _{DN}

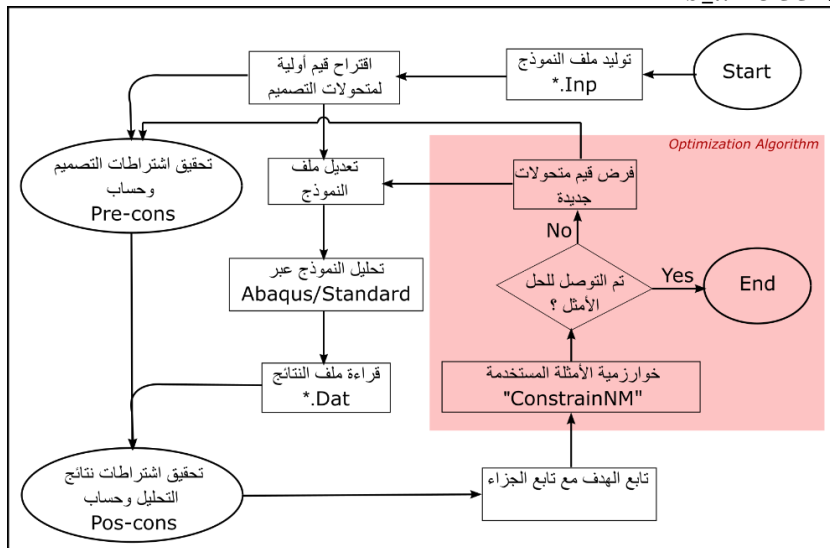
A_{UP}/A_{DN} نسبة تعبر عن نسبة تغير مقطع العناصر الشاقولية



من الجدول السابق يتضح كيفية تحديد عدد المتحولات التي تحكم بتصميم كل مبني دون التفريط بالشروط الموضوعية للتصميم مع الحفاظ على أدنى عدد ممكن من المتحولات. من الجدول يتضح أيضاً أن عدد المتحولات الأقصى لكل مسقط

· $\llbracket UFC \rrbracket_wall$

$$\llbracket ulc \rrbracket_wall = \alpha_3 \cdot A_{sw} \cdot \gamma_S \cdot UCS + a_w \cdot b_w \cdot UCC + 2b_w$$



الشكل (4) مخطط البرنامج الذي يوظف مكتبة ConstrainNM كخوارزميات أمثلة تجريبية محددة

قيم المتحولات

حساب سعر الواحدة الطولية هو الارتفاع الطابقي للجدار ، كما أن A_{sw} هي كمية التسلیح الكلية (أفقية وشاقولية) في جسم الجدار و A_{sf} هي كمية التسلیح في الأعمدة المخفية على طرفي الجدار وتكون قيمة α_3 معامل أطوال التراكب كما ورد في أي 1.25 من طول الجدار.

في هذه العلاقات تم حساب كلفة المتر الطولي لكل مقطع عنصر ومن أجل حساب كلفة أحد الأعمدة مثلاً يضرب طول هذا العمود بكلفة المتر الطولي المحسوبة من العلاقة والمقطع المعنى من الأعمدة . وبالتالي فمن أجل كلفة كامل البناء (تحديد الجوائز والأعمدة والجدران) تجمع كلف كامل العناصر للمبني في مقدار واحد هو تابع الهدف المراد تصغيره عن طريق الخوارزمية. أما شروط التصميم فتم اقتراح أن تكون ذات مستوىين. شروط بعيدة تصميمية قبل بدء التحليل للنموذج وغايتها الوصول إلى تحقيق الإشتراطات البعيدة والمقاومة للمقاطع بحيث يمكن عبر الخوارزمية توليد قيم جديدة لمتحولات إن لم تتحقق المتحولات المتولدة في الدورة الحالية هذه الشروط وقبيل الإنخراط في عملية التحليل الديناميكي اللاخطي الطولية. وبعد تحليل النموذج هناك عدة شروط أخرى يجب التحقق منها ومن أهمها الإنزياح الجانبي المقبول للمبني ، القوى الناجمة في الأعمدة من ناحية الضغط

تم اعتماد أسعار اعتبارية للعناصر الداخلة في حساب المتر الطولي للمقاطع كما يلي:

الجدول (2) كلفة الواحدة من عناصر بناء المبنى

البتد	رمزه	قيمة الواحدة
فولاد	UCS	1 \$/Kg
بيتون	UCC	67 \$/m ³
كوفراج عمود	UFC_{Column}	20 \$/m ²
كوفراج جدار	UFC_{wall}	20 \$/m ²
كوفراج جائز	UFC_{beam}	28 \$/m ²

وفي هذه العلاقات أيضاً تم الاستعانة بالعلاقات المقترحة من قبل Wight and Macgregor (2012) وبالتالي فهي تحوي المعاملات α_i التي تأخذ بعين الاعتبار أطوال تراكب قضبان الفولاذ المستخدمة. فعلى سبيل المثال α_1 معامل A_{sw} متر تراكب قضبان قضبان الفولاذ بالأعمدة المتعاقبة وتقرب قيمته من 1.25 من طول العمود. أما α_2 فهو معامل يأخذ امتداد القضبان إلى الفتحات المجاورة لجوائز بعين الاعتبار وتقرب قيمته من 0.3 من طول الفتحة أما $A_{s End}^-$ و $A_{s End}^+$ فهما التسلیح الموجب والتسلیح السالب عند مقطع نهاية الجائز وأما $A_{s Mid}^+$ و $A_{s Mid}^-$ فهما العزم الموجب والسالب عند منتصف فتحة الجائز. من أجل جدار القص نأخذ بعين الاعتبار وجود عمودي تقوية في نهايته كما أن طول الجدار المعترض في

كوكش، الأطروش والحلواني

نسبة مساهمة الإطارات العزمية من القص القاعدي.....

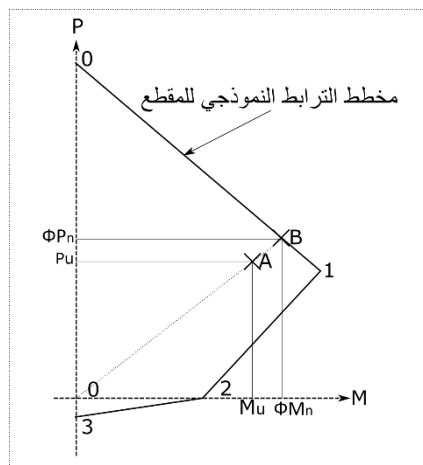
ومابعد التحليل يمكن تلخيصها بالجدول (3).

والشد والعزم (مخطط الترابط) والعزوم السالبة والموجبة في

الجوائز. الإشتراطات التصميمية بشقيها شروط ماقبل التحليل

الجدول (3) الشروط التصميمية المتعددة في عملية أمثلة التصميم الإنثائي للأبنية العالمية تحت تأثير الزلازل ديناميكياً

رقم	فئة	وصف الشرط	ملاحظات
1	شروط ما قبل التحليل Pre-cons	إنقصاص المقطع بالإتجاه الأعلى للطوابق	تم التحكم بهذا الشرط عن طريق نسبة التغير Rat.
2		التحكم بنسبة التسلیح بالإتجاه الأعلى للطوابق	تم التحكم بهذا الشرط عن طريق ثبیت نسبة التسلیح
3		الحفاظ على فرضية عمود قوى جائز ضعيف	تم التحكم بهذا الشرط عن طريق فرض أبعاد جائز موافقة لـ $\frac{M_{nc}}{\sum M_{nb}} < 1.2$
4	شروط ما بعد التحليل Pos-cons	تحمل العمود يقع ضمن مخطط الترابط له	يحسب بعد قراءة ملف النتائج L _{OA} -L _{OB} انظر الشكل (5)
5		العزم الأعظمي الموجب للجائز أقل من مقاومته للعزم الموجب	يحسب بعد قراءة ملف النتائج
6		العزم السالب الموجب للجائز أقل من مقاومته للعزم السالب	يحسب بعد قراءة ملف النتائج
7		قوى الضغط الأعظمية في الأعمدة المحيطية لجدران القص أقل من مقاومتها على الضغط	يحسب بعد قراءة ملف النتائج
8		قوى الشد الأعظمية في الأعمدة المحيطية لجدران القص أقل من مقاومتها على الشد	يحسب بعد قراءة ملف النتائج
9		الإنزياح الجانبي للمبنى أقل من الإنزياح المسموح	يحسب بعد قراءة ملف النتائج واختيرت قيمة 1% كحد أقصى لنسبة الإنزياح الطابقي النسبي في أي طابق



الشكل (5) مخطط الترابط لمقاطع الأعمدة المستخدم بشرط التصميم

المطبق أسفل المبنى والموضحة في الشكل (2). قراءة

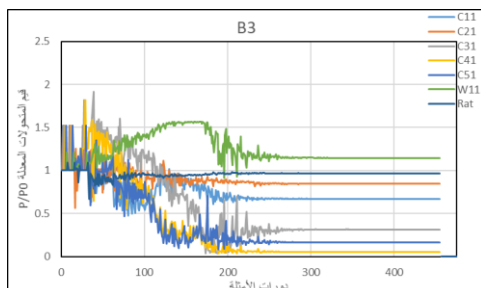
نتائج أمثلة تصميم المساقط الثلاثة:

مخرجات التحليل بعد انتهاءه وصياغة النسب D/C (الطلب 1 الإستطاعة) التي تعكس شروط التصميم من الجدول (3). حساب تابع الهدف متضمناً الإشتراطات التي لم تتحقق وتم اختراقها كقيمة مصعدة تؤدي لتصعيد قيمة تابع الهدف بشكل ملحوظ من أجل أن تتحسنها خوارزمية الأمثلة وتقوم بتوليد قيم المتحولات التصميمية ليعاكس التأثير الذي أدى لخرق

بعد ربط برنامج Abaqus بخوارزمية الأمثلة عن طريق المخطط المبين في الشكل (4) بحيث تتضمن كل دورة تحليلية توليد جديد لمتحولات التصميم ، وبالتالي تعديل النموذج بهذه المتحولات الذي سيتم تحليله ببرنامج Abaqus . وضع النموذج بالتحليل عبر برنامج Abaqus ، تحت تحليل ديناميكي لآخرطي وفق مخطط زمني لتسارعات التحرير القاعدي

كوكش، الأطروش والحلواني

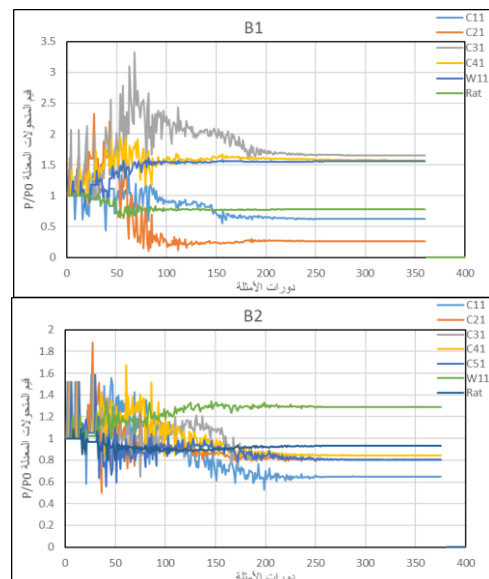
نسبة مساهمة الإطارات العزمية من القص القاعدي.....



الشكل (6) علاقة متغيرات التصميم بتطور عملية الأمثلة

إن القيمة المعدلة لكل متغير تصميمي (Normalized) بقسمة المتغير على قيمة مرجعية أولية له P/P_0 تسمح بسهولة المقارنة ما بين جميع المتغيرات مما يساعد في دراسة المطلقة (قيمة عرض المقطع قد تبلغ 1000 mm وقيمة نسبة تخفيف مساحة مقطعه ستكون بقيمة أقل من الواحد). لذلك يرمز بـ P لقيمة المتغير Parameter الذي يمثل عرض مقطع عمود مثلاً. وأما P_0 فهي القيمة الأولية المستخدمة لنفس المتغير للبدء بتشغيل خوارزمية الأمثلة الشكل (6). بعد ثبات قيم برمجيات التصميم وثبات قيمة تابع الهدف بعد عدة مئات من دورات التحليل المتتالية تتوقف عملية الأمثلة تلقائياً. الجدول (4) يعرض برمجيات الحل الأمثل الذي نتج بعد انتهاء عملية الأمثلة. يرمز للبرمجيات البعيدة بـ C للعمود و W للجدار أما البرمتر الخاص بنسبة تناقص المقطع فهو R . لم تحدد في البرنامج اشتراطات من أجل أبعاد المقاطع من ناحية الحد الأعلى أو الأدنى من أجل معرفة ما هي الحالات التي يمكن رفضها مثل أن يزيد مقطع عنصر ما عن حدود معينة (تناقص المقطع) أو الحالات التي يتبيّن فيها أن المقطع أصبح أصغر من الحدود المسموحة بحيث يمكن الإستغناء عن العنصر أساساً . فمثلاً في المقطع $B1$ نلاحظ أن طول ضلع المقطع $C4$ أصبح أكبر من البعد بين محوري العمودين المتابعين وبالتالي هذه الحالة غير ممكنة عملياً لذلك يمكن القول بأن المقطع $B1$ لا يصلح من الناحية التنفيذية خصوصاً وأن نسبة مساهمة الإطارات فيه هي 9.22% لا تتحقق النسبة الدنيا المسموحة في كودات التصميم الزلالي ASCE 7-22 (2022). من أجل التعرّف على بعض خصائص النماذج بعد وصولها إلى الحالة التصميمية الأمثلة نبين في الشكل (7)

الشرط التصميمي (الشروط التصميمية). إن من سمات التحليل الديناميكي اللاخطي تحت تأثير تحريض زلالي تاريخ زمني هو طول فترة التحليل (وسيطراً ثلاثة ساعات ونصف لتحليل النموذج مرة واحدة) مع حجم ملف النتائج الذي يحتاج أيضاً إلى زمن معالجة ليس بقصير (15 دقيقة زمن معالجة وسيطراً يتم تلقائياً بعد انتهاء التحليل) لذلك وبالإشارة إلى الشكل (6) والذي يوضح قيم متغيرات التصميم المتولدة بشكل مستمر من دورة تحليل إلى أخرى حيث ومن أجل شمولية العرض لجميع المتغيرات تم قسمة قيمة المتغيرات المولدة على القيمة الإبتدائية (Normalization) في كل خطوة تحليلية وبالتالي يوضح المحور الأفقي دوارة الأمثلة التي يتم في كل منها توليد قيم جديدة لمتغيرات التصميم وصولاً إلى القيم المثلثى لهذه المتغيرات وهذا ما يعكس ثبات قيمة المتغيرات بعد عدة مئات من الدورات التحليلية والذي يحرض الخوارزمية على التوقف دليلاً انتهاء عملية الأمثلة وهو ما تم بعد أكثر من 350 و 375 و 460 دورة تحليل أمثلة للنماذج $B1$ و $B2$ و $B3$ على الترتيب وهو ما استدعى زمن تشغيل برنامج الأمثلة لمدة تتجاوز 54 يوماً و 47 يوماً و 60 يوماً على التوالي لكل من النماذج السابقة. تم اختيار البرمجيات التصميمية بقيمها الأولية بعد عدة محاولات بحيث تحقق مبدئياً جميع شروط التصميم. الشكل (6) يوضح تطور عملية الأمثلة للنماذج الثلاثة وكيفية استقرار المتغيرات بعد عدد معين من دورات التحليل.



كوكش، الأطروش والحلواني

المحددة في شروط التصميم بعد التحليل الموضحة في الجدول (3) الذي يوضح نسبة الإنزياح الجانبي لجميع طوابق النماذج الثلاثة.

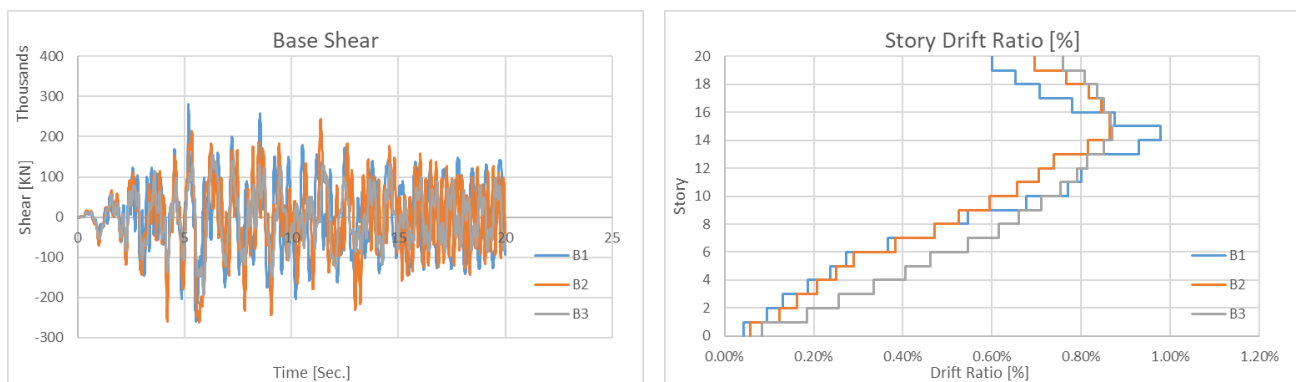
نسبة مساهمة الإطارات العزمية من القص القاعدي.....

نسبة الإنزياح الطابقي الأقصى للنماذج الثلاثة تحت تأثير الهزات الزلزالية التصميمية التي تمت وفقها عملية الأمثلة.

نلاحظ أن أقصى إنزياح طابقي نسبي لم يتجاوز نسبة 1%

الجدول (4) قيم البراميرات التصميمية بعد انتهاء الأمثلة للمساقط الثلاثة B1 و B2 و B3

R [Ratio]	W1 [mm]	C5 [mm]	C4 [mm]	C3 [mm]	C2 [mm]	C1 [mm]	المسقط
0.75	921.7	-	5279.6	1179.1	501.1	2094.3	B1
0.84	822.0	2008.1	2114.0	2012.4	2012.2	1622.6	B2
0.87	730.2	414.8	130.2	786.6	2114.0	1674.8	B3



الشكل (7) نتائج التحليل الديناميكي اللاخطي للنماذج الثلاثة: يمين - نسبة الإنزيادات الطابقية الأعظمية خلال الهرة التصميمية
يسار - قوة القص القاعدي خلال الهرة التصميمية

إمكانية الإستغناء عنه مثلاً في المسقط B3 حيث تحول المقطع C4 إلى أبعاد صغيرة جداً في الطوابق الأرضية 130.2mm بحيث أنه صعوداً نحو الأعلى ستتضائل هذه المقاطع أكثر فأكثر. وبالتالي يمكن بعملية أمثلة لاحقة إلغاء وجود هذا العمود مبدئياً في المبني ذو المسقط 3. في المسقط B3 كانت نسبة مساهمة الجزء الإطاري هي 22.18% وهي نسبة دون النسبة المسموحة في الكودات ولكنها قريبة منها. أما المسقط B2 ذو النسبة 57.89% لمساهمة الإطارات وهي نسبة مسموحة لم يلاحظ فيه ما يخالف التصميم المعتمد عادة. إن اختلاف نسبة المساهمة بين النماذجين B2 و B3 بشكل جوهري يعكس الإنطباع الأولي بأن المسقطين متشابهين تقريباً ومتطابقين بعدد

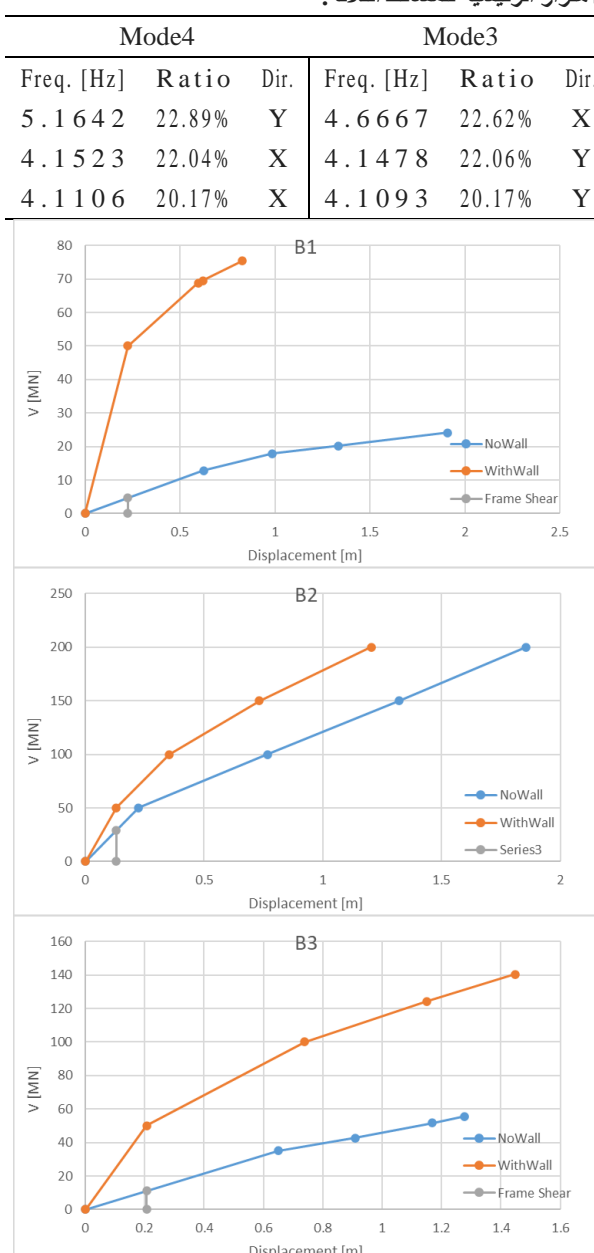
ويوضح الشكل (7) أيضاً القص القاعدي على طول زمان كامل السجل الزلزالي للهزة SN221 المستخدمة في التصميم. أيضاً ومن أجل التعرف على الخصائص الديناميكية للنماذج الخاصة بالمساقط الثلاثة بعد الوصول إلى الحل الأمثل تم ترتيب مواصفات الانمطة الإهتزازية الرئيسية (1 و 2 و 3 و 4) ضمن الجدول (5) الذي يوضح اتجاه النمط، نسبة مساهمة كتلة النمط بالنسبة لكتلة الفعالة باتجاه النمط وتواتر النمط. وذلك من أجل المساقط الثلاثة B1 و B2 و B3. بنتيجة عملية الأمثلة وبسبب عدم اتخاذ حدوداً لأبعاد المقاطع من أجل اكتشاف فعالية كل عنصر من العناصر تحت تأثير التحليل الديناميكي اللاخطي تبين أن بعض العناصر قد تضليل خلال عملية الأمثلة بشكل كبير بحيث يدل ذلك على

كوكش، الأطروش والحلواني

البلاطة نظراً للتوازن ، وبالتالي أدى لزيادة تحمل الجدران للقص القاعدي وبالتالي حصول النموذج B3 على النسبة الكبيرة لمساهمة جدران القص (نسبة مساهمة الجزء الإطاري كانت صغيرة نسبياً بالمقارنة مع B2).

نسبة مساهمة الإطارات العزمية من القص القاعدي.....

العناصر الشاقولية من أحتمدة وجدران ، إلا أن اختلاف توزع الجدران ضمن المسقط لعب دوراً كبيراً هنا على الأغلب حيث أن وجود الجدران في المسقط B3 على محيط المسقط ومن ثم امتلاك هذه الجدران لأكبر ذراع لمقاومة عزم الفتل الطابقي بالنسبة لمركز صلابة البلاطة والذي يتوافق هنا مع مركز الجدول (5) المواصفات الديناميكي لاتماث الأهتزاز الرئيسي للمساقط الثلاثة.



الشكل (8) نسبة مساهمة الجزء الإطاري في الأبنية ذات الجمل الثنائية

من أجل معرفة كيفية استخراج نسبة مساهمة الجزء الإطاري في الجملة الثانية. يوضح الشكل (8) كيفية الحصول على نسبة مساهمة الإطارات لمقاومة القصية القاعدية. يتم معرفة هذه النسبة عند دراسة المبني تحت تأثير الدفع الجانبي بحالتين ، الأولى بكمال العناصر المقاومة للقص القاعدي والثانية بوجود الإطارات فقط ، ثم وبنسبة مقاومة الإطارات عند انتقال يقابل التلدن الأول للمبني كاملاً نجد أن النسبة هي ما تم ذكره سابقاً. بالإضافة إلى نسبة المقاومة القصية القاعدية يمكننا أيضاً استخدام بعض المعايير الهامة في المقارنة بين النماذج المختلفة ، على سبيل المثال يمكن أيضاً إدخال مقاومة القص التي يتحملها المبني ككل ، ومن ثم الكلفة الزمنية للأمثلة (الزمن الذي تحملته عملية التصميم للأمثل). الجدول (6) يوضح جميع هذه البرامترات وذلك من أجل المساقط الثلاثة.

الجدول (6) نتائج الأمثلة للنمذاج الثلاثة وفعالية الإقتصادية

B3	B2	B1		النموذج المصمم بشكل أمثل
50	50	50	V_{Design} [MN]	المقاومة التصميمية القاعدية الكلية
11.09	28.95	4.61	$V_{Fr-Design}$ [MN]	المقاومة التصميمية القاعدية للإطار
22.18%	57.89%	9.22%	$V_{Fr-Design}/V_{design}$ (%)	نسبة المقاومة الإطارية الكلية
\$1,728,720.00	\$2,705,080.00	\$1,895,600.00	Cost [\$]	الكلفة
60:7:3:56.72	47:10:30:0.01	54:12:17:6.25	Day:Hour:Min:Sec	الזמן اللازم للتصميم الأمثل

النتائج النهائية والمناقشات:

ما سبق نجد أنه لا توجد نسبة محددة (أو مجال لنسبة محددة) يكون من أجلها تصميم النظام الثاني جدران قص إطارات ذو كلفة أدنى ما يمكن. كما إنه قد يكون لتغير توزيع الجدران ضمن المسقط الأثر الأكبر في التحكم بهذه النسبة وأيضاً التحكم باقتصادية التصميم.

من الأمور الملحة عند استخدام الأمثلة الرياضية في التصميم جعل زمن التحليل المنشآت المراد تصميمها بالمشكل الأمثل أقصر ما يمكن من أجل أن تكون عملية الأمثلة التي تقوم بتكرار التحليل الديناميكي اللاخطي مئات المرات فعالة بشكل أكبر. وبالتالي لا بد من البحث عن طرق أخرى تعتمد التحليل الديناميكي اللاخطي في التصميم ولكن مع تبسيط نموذج المنشآت الكامل بأكبر قدر ممكن ، على سبيل المثال استغلال فكرة تخفيض المنشآت من متعدد درجات الحرية إلى أحادي درجة الحرية مع المحافظة على الدقة المطلوبة وخصوصاً لناحيةأخذ تأثير الأنماط العليا في الاهتزاز بعين الإعتبار.

التمويل: هذا البحث ممول من جامعة دمشق وفق رقم التمويل (501100020595).

1- إن التحليل الديناميكي اللاخطي تحت تحريض زلزالي بتاريخ زمني يعتبر من أدق أنواع التحليل للأبنية العالية وخصوصاً تلك التي تحوي عدم انتظام إلا أن إدخال هذا التحليل في خوارزمية أمثلة يعكس سلباً على الزمن المطلوب للحصول على التصميم الأمثل للأبنية ضمن فترة زمنية مناسبة خصوصاً مع زيادة عدد برامترات التصميم التي تتحكم بالنموذج وضخامته.

2- تبين من النماذج المختارة في هذا البحث أنه ضمن عملية تصميم أمثلى لكل نموذج تحت تأثير زلزال تصميمية واحدة وشروط تصميمية واحدة ينتج لدينا لكل مسقط مواصفات مقاطع أدت إلى كلفة مختلفة ونسبة مساهمة الجزء الإطاري لقوى القص القاعدي التصميمية مختلفة أيضاً وهو ما تبين من النسب التي نتجت للمساقط الثلاثة B1 و B2 و B3 وهي على التوالي 9.22% و 57.89% و 22.18% .

3- ليس بالضرورة أن تكون زيادة نسبة مساهمة الإطارات فوق نسبة الكود بشكل ملحوظ سيؤدي إلى منشأ إقتصادي بل بالعكس في المسقط B2 صاحب النسبة الأكبر في مساهمة الإطارات (57.89%) كان المنشآت صاحب هذا المسقط الأكثر كلفة بين باقي المساقط.

الخلاصة والتوصيات:

(References):

- Al Agha, W., Almorad, W.A., Umamaheswari, N. and Alhelwani, A., 2021. 'Study the seismic response of reinforced concrete high-rise building with dual framed-shear wall system considering the effect of soil structure interaction'. Materials Today: Proceedings, 43, pp.2182-2188.
- ASCE, 2022. 'DUAL SYSTEMS WITH SPECIAL MOMENT FRAMES CAPABLE OF RESISTING AT LEAST 25% OF PRESCRIBED SEISMIC FORCES', 7-22 (ed.) The American Society of Civil Engineers, Section 12.2.5.1.
- Bagani, M.G., 2020. Structural Cost Comparison of Low Rise Building Having Moment Resisting Frames and Moment Resisting Frames With Shear Wall for Different Seismic Zones: Case Study. SSRN.
- Camp, C.V., Pezeshk, S. and Hansson, H., 2003. Flexural design of reinforced concrete frames using a genetic algorithm. Journal of structural engineering, 129(1), pp.105-115.
- Datta, T.K., 2010. Seismic analysis of structures. John Wiley & Sons.
- Fadaee, M.J. and Grierson, D.E., 1998. Design optimization of 3D reinforced concrete structures having shear walls. Engineering with Computers, 14, pp.139-145.
- Freeman, S.A., 1978. Prediction of response of concrete buildings to severe earthquake motion. Special Publication, 55, pp.589-606.
- Katrangi, M., Memarpour, M.M. and Yakhchalian, M., 2022. Assessment of the Seismic Performance and the Base Shear Contribution Ratios of the RC Wall-frame Dual System Considering Soil–Structure Interaction. Journal of Earthquake Engineering, 26(10), pp.5290-5317.
- Kaveh, A. and Sabzi, O., 2011. A comparative study of two meta-heuristic algorithms for optimum design of reinforced concrete frames.

Kaveh, A. and Zakian, P., 2012. Performance based optimal seismic design of RC shear walls incorporating soil–structure interaction using CSS algorithm.

Kaveh, A. and Zakian, P., 2014. Optimal seismic design of reinforced concrete shear wall-frame structures. KSCE Journal of Civil Engineering, 18, pp.2181-2190.

Kunnath, S.K., Panahshahi, N. and Reinhorn, A.M., 1991. Seismic response of RC buildings with inelastic floor diaphragms. Journal of Structural Engineering, 117(4), pp.1218-1237.

Kwak, H.G. and Kim, J., 2008. Optimum design of reinforced concrete plane frames based on predetermined section database. Computer-Aided Design, 40(3), pp.396-408.

Lee, C. and Ahn, J., 2003. Flexural design of reinforced concrete frames by genetic algorithm. Journal of structural engineering, 129(6), pp.762-774.

Nelder, J.A. and Mead, R., 1965. A simplex method for function minimization. The computer journal, 7(4), pp.308-313.

Mehdipanah, A., Lumantarna, E. and Lam, N., 2022. Shear wall and frame dual systems featuring discontinuous load paths in frame elements in low-to-moderate seismic regions. Journal of Earthquake Engineering, 26(14), pp.7408-7443.

Saka, M.P., 1992. Optimum design of multistorey structures with shear walls. Computers & structures, 44(4), pp.925-936.

Sigmund, V., Guljas, I. and Hadzima-Nyarko, M., 2008. Base shear redistribution between the R/C dual system structural components. In The 14th World Conference on Earthquake Engineering.

MacGregor, J.G., Wight, J.K., Teng, S. and Irawan, P., 1997. Reinforced concrete: Mechanics and design (Vol. 3). Upper Saddle River, NJ: Prentice Hall.

Wiyono, D.R., Milyardi, R. and Lesmana, C., 2020, July. Distribution of Story Shear and Reinforcement in Dual System. In IOP Conference Series: Materials Science and Engineering (Vol. 852, No. 1, p. 012061). IOP Publishing.

Zou, X.K. and Chan, C.M., 2005. Optimal seismic performance-based design of reinforced concrete buildings using nonlinear pushover analysis. Engineering structures, 27(8), pp.1289-1302.